

В. П. ШАБАНСКИЙ, А. Р. ШИСТЕР

СВЕРХЗВУКОВОЕ ИСТЕЧЕНИЕ ПЛАЗМЫ ИЗ ВРАЩАЮЩЕГОСЯ ИСТОЧНИКА

(Представлено академиком С. Н. Верновым 28 IX 1972)

В ряде задач магнитной гидродинамики кинетическая энергия газового потока существенно превышает тепловую и магнитную энергию. Из системы уравнений выделяется уравнение для скорости, которая и определяет пространственно-временное распределение других параметров плазмы. При подобных предположениях ^(1, 2) была решена задача об азимутально несимметричном солнечном ветре для случая стационарной картины во вращающейся с Солнцем системе координат. В данной заметке мы получим общее решение соответствующей краевой задачи и задачи с начальными условиями при произвольной зависимости граничных значений параметров. Ниже будет показано, что задача о радиальном испускании частиц с поверхности вращающегося шара при определенных условиях сводится к одномерному уравнению для скорости, а другие характеристики плазмы определяются из уравнений, сходных с одномерным уравнением непрерывности.

Рассмотрим бессипловое уравнение движения и уравнение непрерывности

$$Lu = 0, \quad Ly = -y \partial u / \partial x, \quad L = \partial / \partial t + u \partial / \partial x, \quad (1)$$

где t, x — безразмерные время и координата, $u(t, x, x_0), y(t, x, x_0)$ — безразмерные скорость и плотность плазмы, зависящие от других координат x_0 , как от параметров, L — субстанциональная производная.

1. Г р а н и ч н а я з а д а ч а: заданы $u(t, x_0) = u_0(t), y(t, x_0) = y_0(t)$. Первое уравнение (1) дает

$$u(t, x) = u_0(t_0), \quad t_0 = t - (x - x_0) / u, \quad (2)$$

где t_0 — момент испускания из точки x_0 частицы, пришедшей в точку x в момент t .

Введем функцию $K(t_0, x)$ с очевидными свойствами:

$$K(t_0, x) = \frac{u^2}{u^2 - (\partial u_0 / \partial t_0)(x - x_0)}, \quad \frac{\partial u}{\partial t} = -u \frac{\partial u}{\partial x} = \frac{\partial u_0}{\partial t_0} K, \quad (3)$$

$$Lf(u)K^m = m(\partial u_0 / \partial t_0)f(u)K^{m+1} / u,$$

где m — целое число, а $f(u)$ — произвольная функция скорости.

Используя (3) для случая $m = 1$ и граничные условия, получим решение второго уравнения (1) в виде

$$y(t, x) = y_0(t_0)K(t_0, x). \quad (4)$$

Если $u_0(t_0)$ имеет максимум, т. е. представляет собой волну, то профиль волны $u(x, t)$ с ростом x будет нелинейно искажаться (с сохранением амплитуды), а плотность $y(t, x)$ расти на гребне волны. При некотором значении $x_m(t_m)$ частицы вдоль линии тока $t_0(t, x) = \text{const}$, догонят друг друга. Точка $x_m(t_0)$ — начало опрокидывания волны. Плотность y при этом обращается в бесконечность. $K^{-1} = 0$. Из возможных значений x_m , при ко-

торых $K^{-1} = 0$, надо выбрать наименьшее. Это дает

$$x_m - x_0 = [u^2 / (\partial u / \partial t_0)]_{t_0=t_{0m}}, \quad (5)$$

где t_{0m} — точка минимума $x_m(t_0)$, т. е. корень уравнения

$$d[u^2 / (\partial u / \partial t_0)] / dt_0 = 0.$$

Очевидно, что $x < x_m$ (или $t < t_m$) определяет область справедливости предложения о свободном разлете.

2. Задача с начальными условиями: задано $u(t_0, x) = u_0(x)$, $y(t_0, x) = y_0(x)$. Решение запишется в следующем виде, аналогичном (2), (4):

$$u(t, x) = u_0(x_0), \quad y(t, x) = y_0(x_0)K_1(t, x_0); \quad x_0 = x - u(t - t_0),$$

где вместо (3), (5) выполняются равенства

$$K_1(t, x_0) = [1 + (\partial u_0 / \partial x_0)(t - t_0)]^{-1}, \quad \frac{\partial u}{\partial t} = -\frac{\partial u}{\partial x} = -u \frac{\partial u_0}{\partial x_0} K_1, \quad (6)$$

$$Lf(u)K_1^m = m \left(\frac{\partial u_0}{\partial x_0} \right) f(u) K_1^{m+1}, \quad t_m - t_0 = -[1 / (\partial u / \partial x_0)]_{x_0=x_{0m}},$$

x_{0m} — точка минимума $t_m(x_0)$, а $t < t_m$ — область справедливости свободного разлета.

Рассмотрим конкретный пример граничной задачи: $u(t, x) = u_0(t) = 1 + \alpha - \alpha \cos nt$. Решение запишется в виде

$$u(t, x) = u_0(t_0) = 1 + \alpha - \alpha \cos nt_0, \quad t_0 = t - (x - x_0) / u. \quad (7)$$

Условие (5) дает

$$x_m - x_0 = (1 - \alpha \cos nt_{0m})^2 / (\alpha n \sin nt_{0m});$$

$$\cos nt_{0m} = [\sqrt{(1 + \alpha)^2 + 8\alpha^2} - (1 + \alpha)] / (2\alpha). \quad (8)$$

При $\alpha \gg 1$ (большая глубина модуляции) $x_m - x_0 \approx 0$, $nt_{0m} \approx 0$, т. е. опрокидывание волны начинается в точке минимума $u_0(t_0)$, и область применимости сужается до нуля. При $\alpha \ll 1$

$$x_m - x_0 \approx 1 / n\alpha, \quad nt_{0m} \approx \pi / 2. \quad (9)$$

Точка nt_{0m} смещается к предельному значению $\pi / 2$, при котором максимальна производная $\partial u_0 / \partial t_0$, а область применимости расширяется до $1 / (n\alpha)$.

Если $u(t_0, x) = u_0(x) = 1 - \alpha + \alpha \cos kx$, то решение (5) задачи с начальными условиями имеет вид

$$u(t, x) = u_0(x_0) = 1 - \alpha + \alpha \cos kx_0.$$

Из (6) для t_m получаем $t_m - t_0 = 1 / (\alpha k)$ в точке $kx_{0m} = 3\pi / 2$, т. е. опрокидывание начинается на максимальном спаде $u_0(x_0)$. Выражение для t_m эквивалентно (9), но в отличие от последнего оно справедливо при любых значениях α (при любой глубине модуляции). Это отличие легко понять, если учесть, что в задаче 2 частицы стартуют с расстояний, не зависящих от их скорости, а в задаче 1 частице, покинувшей границу $x = x_0$ на время δt позже заданной частицы, придется ее догнать с начального расстояния $v \delta t$, на которое ушла первая частица.

В отношении солнечного ветра более реальна постановка задачи 1, так как измерения в настоящее время производятся на фиксированных расстояниях x от Солнца. Вернемся к конкретному примеру в задаче 1. Решение (7) определяется трансцендентным уравнением для $u(t, x)$. Оно решается в явном виде для обратной функции $t(u, x)$. Подставляя это решение в (3), найдем функцию K , определяющую по (4) плотность y . Для удобства сопоставления профилей u , y на разных расстояниях x или в различные моменты времени t перейдем в систему координат, движущуюся

вдоль линии тока $t_0 = t - (x - x_0) / u$ с минимальной скоростью $u = 1$. При этом можно изменить начало отсчета либо x , либо t . Положим $\bar{t} = t + (x - x_0)$. Учитывая (2), получим

$$u(\bar{t}) = u(t), \quad \bar{t} = t - (x - x_0)(u - 1) / u, \quad (10)$$

и аналогичную формулу для K и y .

Для рассматриваемого примера будем иметь

$$\Phi = \left(\frac{\pi/2}{3\pi/2} \right) \pm \arcsin \frac{u-1-\alpha}{\alpha} - X \frac{u-1}{\alpha u}; \quad \frac{\partial u_0}{\partial t_0} = \sin \left(\Phi + X \frac{u-1}{\alpha u} \right), \quad (11)$$

где $X = (x - x_0)\alpha n \approx (x - x_0) / x_m$, $\Phi = n\bar{t}$. Верхняя ветвь $\Phi(u)$ для области $0 \leq \Phi \leq \Phi_1$, нижняя — для $\Phi_1 \leq \Phi \leq 2\pi$, $\Phi_1 = \pi - 2X / (1 + \alpha)$. Величина X меняется в пределах от 0 до 1 ($x \approx x_m$) и u — в пределах от 1 до $1 + 2\alpha$.

Подставив (11) в (3), найдем K . Графики $u(\Phi)$, $K(\Phi)$ приводятся на рис. 1. Видно, что вблизи критической точки ($X = 1$) плотность стремится к бесконечности. Интересно отметить, что опрокидывание профиля $u(\Phi)$ (многозначность функции u) происходит не сразу за критической точкой $X = 1$, а, как показывает анализ, лишь при $X \sim \pi/2$; в области же $1 < X < \pi/2$ продолжается рост крутизны и смещение максимума $u(\Phi)$ к точке $\Phi = 0$.

В применении к солнечному ветру t измеряется в $1/\Omega$, Ω — угловая частота вращения Солнца, $u = v/v_{00}$ (v_{00} — минимальная скорость на границе $r = r_0$ — несколько радиусов Солнца), $x = r\Omega/v_{00}$, $y = -\rho r_0^2/\rho_0 r^2$. Величина n в формуле (11) связана с длительностью $t = 2\pi/n$ простейшего по форме возмущения (7). Целочисленные значения n соответствуют стационарной картине во вращающейся системе координат. При фиксированном значении φ (например, $\varphi = 0$) время $t = \varphi - \varphi'$ совпадает с азимутальным углом $\psi = -\varphi'$ во вращающейся системе. Второе уравнение (7) совпадает со спиралью Архимеда.

Стационарная секторная структура, наблюдавшаяся⁽³⁾ в спокойный период (1965 г.), соответствует $n = 4$; $\alpha = 0,2$; $v_{00} = 300$ км/сек, что дает $r_m = 0,83$ а.е. В возмущенный период были выявлены всплески⁽⁴⁾ со средним значением $n = 3,9$; $v_{00} = 340$ км/сек; $\alpha = 0,2$, что дает $r_m = 1,0$ а.е. В обоих случаях профили скорости и плотности имеют вид, подобный графикам рис. 1, 3 ($r = r_m$). Очевидно, что в области $r \geq r_m$ надо учитывать тепловое и магнитное давление, которое отодвигает область образования косых ударных волн на большие по сравнению с r_m расстояния. Если показатель политропы $\gamma = 3$ (идеальный газ с одной степенью свободы), то удастся получить точное решение уравнений (1) с учетом давления⁽⁵⁾. Оказывается, в этом случае рост плотности ограничен величиной $y = y_0(1 + \alpha v_{00}/c_0)$, где c_0 — скорость звука на уровне $r = r_0$, и опрокидывания профиля волны $u(\Phi)$ не происходит.

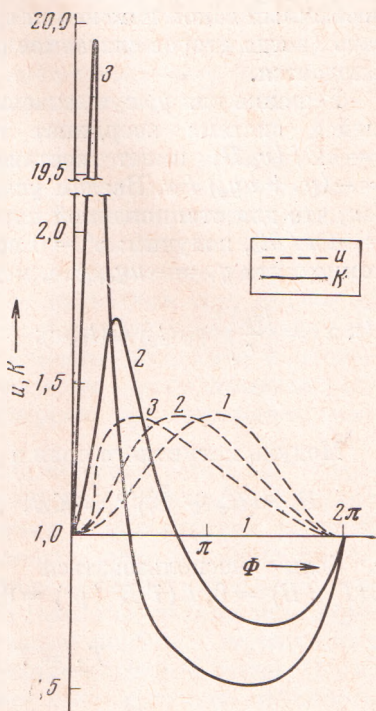


Рис. 1. Значения $u(\Phi)$ и $K(\Phi)$ при $\alpha = 0,2$ и различных X : 1 — $X = 0$; 2 — 0,5; 3 — 1,0

Уравнения для магнитного поля

$$\partial \mathbf{B} / \partial t = \text{rot} [\mathbf{v}, \mathbf{B}], \text{div } \mathbf{B} = 0$$

в системе уравнений одножидкостной магнитной гидродинамики в сферической системе координат для безразмерных переменных сводятся к типу второго уравнения в (1). Обозначим $y_\phi = xB_r / B_0$, $y_\theta = xB_\theta \sin \theta / B_0$, $y_r = x^2 B_r \sin \theta / B_0$, $x = \Omega r / v_{00}$, $u = v / v_{00}$. Тогда уравнения для y_ϕ , y_θ , так же как и для плотности $y_\rho = x^2 \rho / \rho_0$, будут в точности совпадать с уравнением (1), решение которого дается формулой 4, а уравнение для y_r компоненты с учетом условия $\text{div } \mathbf{B} = 0$ может быть сведено к виду

$$L\{y_r - (\partial u_0 / \partial \phi) u y_\phi / (\partial u_0 / \partial t_0) - (\partial u_0 / \partial \theta) u y_\theta / (\partial u_0 / \partial t_0)\} = 0. \quad (12)$$

Используя свойства оператора L и выражение (4), отсюда можно получить решение для компоненты y_r :

$$y_r = y_{r0} + \frac{x - x_0}{u} \left(\frac{\partial u_0}{\partial \phi} y_{\phi 0} + \frac{\partial u_0}{\partial \theta} y_{\theta 0} \right) K, \quad (13)$$

из которого видно, что в области максимума K компонента y_r может иметь необычный закон изменения с расстоянием r и временами полностью исчезать (когда второе слагаемое в (13) компенсирует первое), что иногда наблюдается.

Решение для y_r существенно упрощается для стационарной во вращающейся системе координат картины. Учтем, что электрическое поле $\mathbf{e} = c\mathbf{E} / (v_{00}B)$ имеет составляющие $e_\phi' = u y_\phi / (x \sin \theta)$, $e_r' = y_\theta$, $e_\theta' = -(y_r + u y_\phi) / x$. Введем условие вращения шара: $e_\theta' = 0$. Тогда, учитывая, что для стационарной картины во вращающейся системе $\partial u_0 / \partial \phi = -\partial u / \partial t_0$, получим: $e' = 0$ во всем пространстве. Это дает $y_\theta = y_{\theta 0} = 0$, а компонента $y_r = -u y_\phi$, т. е. меняется как y_θ , y_ϕ . В обычных переменных

$$\rho(t, x) = \left(\frac{r_0}{r} \right)^2 \rho_0(t_0) K(t_0, r); \quad B_\phi = \left(\frac{r_0}{r} \right) B_{0\phi} K; \quad B_r = -B_{\phi 0} \frac{v_0}{\Omega r_0} \left(\frac{r_0}{r} \right)^2 K = B_{r0} \left(\frac{r_0}{r} \right)^2 K. \quad (14)$$

Модуль магнитного поля в рассматриваемом случае

$$B = (B_\phi^2 + B_r^2)^{1/2} = KB, \quad B = B_0 \left(\frac{r_0}{r} \right)^2 \frac{1}{A}, \quad A = \left\{ \frac{1 + (\Omega r_0 / v)^2}{1 + (\Omega r / v)^2} \right\}^{1/2}. \quad (15)$$

Если воспользоваться уравнениями для анизотропной плазмы $L(T_\perp / B) = 0$, $L(T_\parallel B^2 / \rho^2) = 0$, то получим

$$T_\perp = T_{\perp 0} \left(\frac{r_0}{r} \right)^2 \frac{K}{A}, \quad T_\parallel = T_{\parallel 0} A^2. \quad (16)$$

Отсюда видно, что T_\perp в отличие от T_\parallel ведет себя как ρ и B . Подобная тенденция обнаруживается в эксперименте (4).

Научно-исследовательский институт
ядерной физики
Московского государственного университета
им. М. В. Ломоносова

Поступило
19 IX 1972

ЦИТИРОВАННАЯ ЛИТЕРАТУРА

¹ В. П. Шабанский, А. Р. Шистер, Всесоюзная конференция по физике космических лучей, Тбилиси, октябрь 1971 г. ² T. Matsuda, T. Sakurai, Cosmic Electrodim., 3, 97 (1972). ³ J. M. Wilcox, N. F. Ness, J. Geophys. Res., 70, 5793 (1965). ⁴ J. T. Gosling, A. J. Hundhausen, et al., J. Geophys. Res., 77, 544 (1972). ⁵ В. П. Шабанский, А. Р. Шистер, Геомагнетизм и аэронавтика, № 4 (1973).